

# ظرفیت باربری پی نواری واقع بر ماسه‌ی سست مقاوم شده با لایه‌ی ماسه‌ی مسلح

رضا پورحسینی<sup>\*</sup> (استادیار)

سیدنوبد حسینی ناوی (کارشناس ارشد)

دانشکده‌ی هندسی عمران، دانشگاه پزد

مهمنشی عمران شرف، (پیمان ۱۳۹۴) دری ۳-۶، شماره ۱/۱، ص. ۷۳-۷۹، پذیرش تاریخ: ۱۳۹۰/۸/۳

به کارگیری لایه‌ی از ماسه‌ی مسلح شده، روشی مناسب برای مقاوم سازی پی‌های واقع بر خاک‌های مسئله‌دار مانند ماسه‌های سست است. در این نوشتار، رفتار مدل آزمایشگاهی پی نواری واقع بر ماسه‌ی سست و مقاوم سازی شده با لایه‌ی از ماسه‌ی مسلح ارائه شده است. در تمام آزمایش‌ها، ماسه‌ی بادی عبوری از الک ۴۲۵ میلی‌متری و با زاویه اصطکاک داخلی ۲۹° به عنوان ماسه‌ی سست استفاده شده است. در این بررسی آزمایشگاهی، یک سری آزمایش به منظور بررسی اثر حالت و شکل مسلح‌سازی در ظرفیت باربری پی، به عنوان شاخصی از عملکرد آن، انجام پذیرفت. بدین منظور مسلح‌کننده‌ها با شکل‌های هندسی مختلف مانند هذلولی، عمودی، افقی، و ترکیبی مورد استفاده قرار گرفت. بر اساس نتایج آزمایشگاهی، استفاده از ترکیب مسلح‌سازی افقی و عمودی و یا مسلح‌سازی به شکل هذلولی معمول، ظرفیت باربری پی نواری را در مقایسه با مسلح‌سازی افقی متدالو به نسبت بیشتری افزایش می‌دهد.

**واژگان کلیدی:** هندسه‌ی مسلح‌سازی، ظرفیت باربری، ماسه‌ی سست (ماسه‌ی بادی)، پی نواری.

## ۱. مقدمه

نهشته‌های ماسه‌ی بادی در مناطق بیابانی و نیمه بیابانی ایران به وفور یافت می‌شود. این مصالح با اینکه نشست پذیری کمی دارند، اما به راحتی رانش می‌یابند. بی‌سازی مستقیم بر روی این ماسه‌ها به دلیل پایین‌بودن مقاومت برشی و دانه‌بندی یک‌نواخت سبب بروز خسارت به اینه می‌شود. از این رو لازم است برای پی‌سازی در این موارد، نسبت به مقاوم سازی و بهبود اندرکشش بین خاک و سازه اقدام شود. این پژوهش به مطالعه‌ی عملکرد مدل‌های آزمایشگاهی پی نواری به منظور بررسی و مقایسه‌ی کارایی هندسه‌ی مسلح‌سازی با الگوهای افقی، عمودی و یا خمیده به منظور افزایش ظرفیت باربری بستر ماسه‌ی سست (بادی) می‌پردازد. در اینجا برای نخستین بار عملکرد مدل‌هایی با روکش ماسه‌ی مسلح‌سازی شده به شکل خمیده و نیز به صورت ترکیبی از مسلح‌سازی افقی با مسلح‌سازی قائم بر باربری پی بررسی شده است.

روش‌های متعددی به منظور اصلاح عملکرد توده‌های خاکی سست تحت اثر بارگذاری توسط مهندسان و پژوهشگران ابداع شده است که خاک مسلح یکی از آنهاست. در نیم قرن گذشته، تحقیقات گستردگی‌ی جهت بررسی عملکرد سازه‌های خاکی مسلح شده صورت گرفته است. رفتار خاک مسلح، بر پایه‌ی مقاومت کششی مسلح‌کننده، اندرکش بین خاک و مسلح‌کننده، و نوع تنفس‌های وارد استوار است. در ۲۵ سال گذشته، مدل‌های آزمایشگاهی فلوران و تعداد کمی آزمایش میدانی به منظور تعیین ظرفیت باربری پی‌های سطحی واقع بر ماسه‌ی مسلح شده با چندین لایه‌ی زوگریدگار افزایش شده است.<sup>[۱-۲]</sup> عملکرد آزمایشگاهی مسلح‌سازی صفحه‌ی و زوسل توسط برخی محققان در محدوده‌ی نشسته‌های کاربردی بررسی شده است.<sup>[۳]</sup> مسلح‌سازی افقی به علت نیاز به برداشت خاک مسئله‌دار تا عمق مناسب و جای‌گذاری لایه‌های مسلح‌کننده و به دلیل تداخل با محل پی‌سازی، زمان اجرا را افزایش می‌دهد. با مسلح‌سازی قائم بیرون از محیط شالوده نیز ظرفیت باربری خاک قابل افزایش است، لیکن تحقیقات محدودی در زمینه‌ی امکان استفاده از این روش جهت افزایش ظرفیت باربری ارائه شده است.<sup>[۴-۵]</sup> در شرایطی که جایگزینی خاک سست با مصالح مرغوب توجیه‌پذیر نباشد، می‌توان با استفاده از لایه‌ی ماسه‌ی مسلح شده، ظرفیت باربری را به طور قابل ملاحظه‌ی افزایش داد.<sup>[۶]</sup>

## ۲. دستگاه آزمایشگاهی و مشخصات مصالح

مدل سازی رفتار پی نواری به صورت کرنش صفحه‌ی با قاب سازی از مقطع نیشی فولادی به ابعاد داخلی  $15 \times 50 \times 50$  سانتی‌متر صورت گرفت. به منظور کاهش ضربه اصطکاک، وجوده طرفین آن از جنس پلاکسی‌کلاس به ضخامت ۲۰ mm است. همچنین برای شیوه‌سازی شرایط کرنش صفحه‌ی و جلوگیری از

\* نویسنده مسئول  
تاریخ: دریافت ۱۳۹۰/۸/۳، اصلاحیه ۱۳۹۱/۱/۲۶، پذیرش ۱۳۹۱/۳/۹.

جدول ۱. خصوصیات مصالح خاکی استفاده شده در آزمایش‌ها.

طبقه‌بندی متعدد خاک	دانه‌بندی					مشخصات مکانیکی				
	D <sub>50</sub> (mm)	D <sub>10</sub> (mm)	ضریب خمدگی	ضریب یکنواختی	ضریب	نـشانهـی تورـمـ%	نـشانهـی فسـرـدـگـیـ%	وـ(ـ°ـ)	مـصالـحـ	
SP-SC	۰,۱۴	۰,۰۷۵	۰,۹۲	۳		۰,۰۵	۰,۰۲	۲۹	ماسه‌ی بادی	
SP	۱,۳	۰,۷	۰,۸۱	۲,۲۱		۰,۰۳	۰,۱۲	۴۳	ماسه‌ی شکسته	

C: پارامتر چسبندگی  
C': پارامتر اصطکاک داخلی

جدول ۲. مشخصات هندسی و مکانیکی المان‌های مسلح‌کننده.

ضخامت (mm)	مقاومت کششی نهایی ASTM D ۵۰۳۵-۹۵ (kN/m)	نوع مسلح‌کننده	مشخصات هندسی	
			D <sub>50</sub>	D <sub>10</sub>
۰,۰۱۴	۰,۵	ورق آلومینیومی		
۰,۰۱۰	۰,۴۱	نوار پلیمری (نوار ویدئو)		

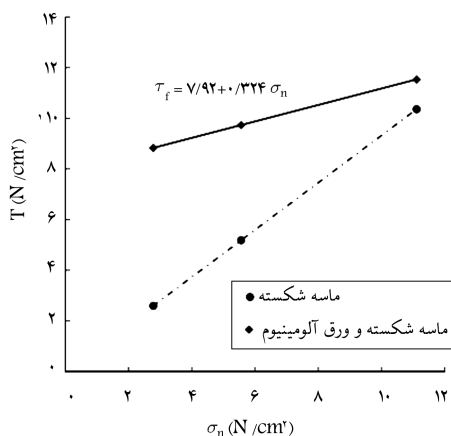
در پارامترهای مسلح‌سازی در سال ۱۹۹۶ بررسی شده است.<sup>[۱۰]</sup> بر این اساس و آنالیز ابعادی انجام شده، نسبت مقاومتی المان مسلح‌کننده نمونه‌ی واقعی به مدل در رابطه‌ی ۱ تعیین شده است.

$$\frac{S_{rp}}{S_{rm}} = N^e \quad (1)$$

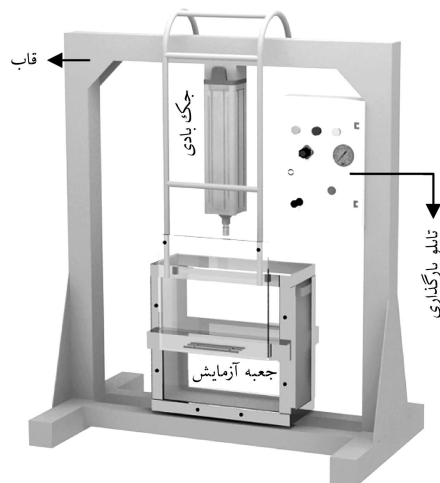
که در آن،  $S_{rp}$  و  $S_{rm}$  به ترتیب مقاومت مسلح‌کننده واقعی و  $N$  مقیاس مدل آزمایشگاهی هستند. در آزمایش‌های متعارف، از استاندارد ASTM A استفاده شده است.

### ۳. مدل اندرکنش خاک و مسلح‌کننده

یکی از عوامل مؤثر در مسلح‌سازی خاک، اندرکنش بین مسلح‌کننده و خاک است. به منظور تعیین اثر مسلح‌کننده در مقاومت برشی خاک، آزمایش برش مستقیم بر روی ماسه‌ی شکسته که در فصل مشترک دو نیمه‌ی قالب برش ورق آلومینیوم قرار گرفته است، انجام شد. شکل ۲، اندرکنش بین ماسه‌ی شکسته و ورق آلومینیومی را نشان می‌دهد.



شکل ۲. نمودار اندرکنش ماسه‌ی شکسته با ورق آلومینیومی و مقاومت برشی ماسه‌ی شکسته در دستگاه برش مستقیم.



شکل ۱. دستگاه تعیین ظرفیت پی نواری.

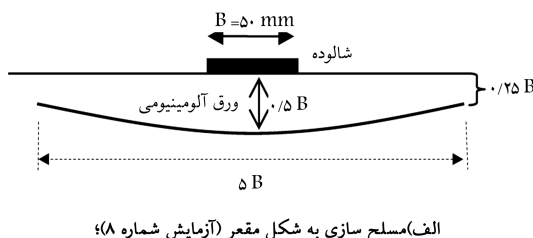
متوسط ۱۰٪ کارگذاشته شده‌اند. شکل ۴ هندسه و موقعیت این مسلح‌کننده‌ها را نسبت به کف شالوده نشان می‌دهد.

### ۳. مسلح‌سازی قائم

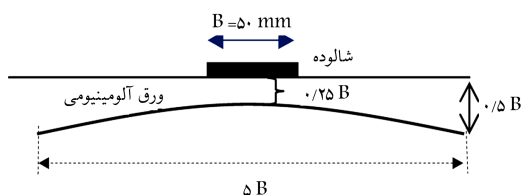
برای این حالت (آزمایش ۱۰)، فقط از ورق آلمینیوم به عنوان المان مسلح‌کننده استفاده شده است، که ابعاد بھینه و محل مناسب قرارگیری این مسلح‌کننده‌ها بر پایه نتایج بدست‌آمده در سال ۱۹۹۴ تعیین شده است.<sup>[۱۴]</sup> شکل ۵، مشخصات هندسی این حالت را نشان می‌دهد.

### ۴. مسلح‌سازی با استفاده از المان‌های افقی و قائم

محققان با پیشنهاد سیستمی جدید، به بررسی مقاومت‌سازی بستر رس نرم به وسیله ترکیبی از لایه‌ی افقی و ستون‌هایی از ماسه‌ی مسلح‌شده با الیاف پرداختند.<sup>[۱۵]</sup> در اینجا با استفاده از این ابتکار و الگوگرفتن از عملکرد زئولیت‌ها، مسلح‌سازی جدیدی با استفاده از المان‌های افقی و قائم انجام پذیرفت. در این آزمایش‌ها سیستم عمودی، یک بار با یک لایه‌ی مسلح‌کننده‌ی افقی و بار دیگر با دو لایه‌ی مسلح‌کننده‌ی افقی تلفیق شده که جزئیات آن‌ها به ترتیب در شکل ۶ و جدول ۴ آورده شده است (مسلح‌کننده‌های افقی و عمودی در محل برخورد به هم پیوسته نیستند).

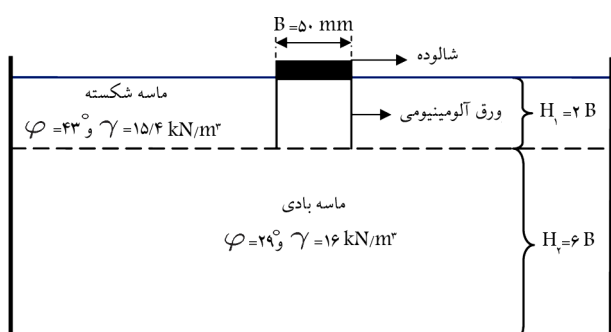


الف) مسلح‌سازی به شکل معمعر (آزمایش شماره ۸)



ب) مسلح‌کننده به شکل محدب (آزمایش شماره ۹)

شکل ۴. موقعیت و هندسه‌ی مسلح‌کننده‌ی خمیده ( $H_1 = 2B$  و  $H_2 = 6B$ ).<sup>[۱۶]</sup>



شکل ۵. مدل با مسلح‌کننده‌های قائم (آزمایش ۱۰).

### ۴. ساخت مدل‌های آزمایشگاهی

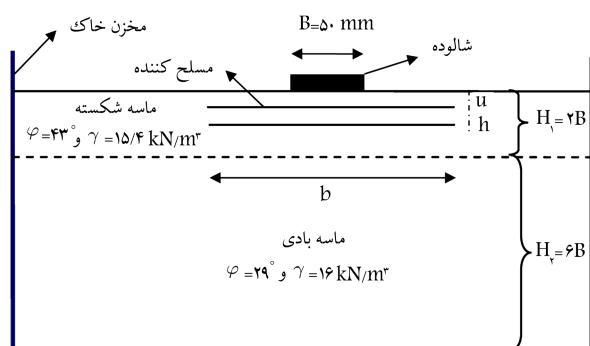
برای ساخت مدل‌ها، ماسه‌ها در لایه‌هایی به ضخامت ۵۰ mm به روش بارشی در جعبه ریخته شد، در این شرایط وزن مخصوص ماسه‌ی بادی و ماسه‌ی شکسته به ترتیب به مقادیر  $16\text{ kN/m}^3$  و  $15.4\text{ kN/m}^3$  رسید.

### ۱۰. مسلح‌سازی افقی

در اینجا اثر یک دو لایه‌ی مسلح‌کننده بررسی شده است. شکل و جزئیات تنظیمی آزمایش‌ها برای این حالت، به ترتیب در شکل ۳ و جدول ۳ آمده است. با توجه به نتایج برخی تحقیقات<sup>[۱۷]</sup>، نسبت فاصله‌ی بھینه‌ی اولین لایه‌ی مسلح‌کننده از کف بی و نسبت فاصله‌ی بین لایه‌ها به عرض شالوده را به ترتیب در محدوده‌ی  $0.3 \leq \frac{u}{B} \leq 0.25$  و  $0.4 \leq \frac{h}{B} \leq 0.2$  تعریف کردند. همچنین با استفاده از مدل‌های عددی نشان داده شده است که بیشینه‌ی عمق مؤثر در مسلح‌سازی حدوداً ۱/۵ برابر عرض پی نواری است.<sup>[۱۸]</sup>

### ۲۰. مسلح‌سازی خمیده

در این مدل‌ها مسلح‌سازی با یک لایه‌ی ورق آلمینیوم، یک بار به حالت هذلولی مقعر (آزمایش ۸) و در مدل دیگر به حالت هذلولی محدب (آزمایش ۹) و با شب

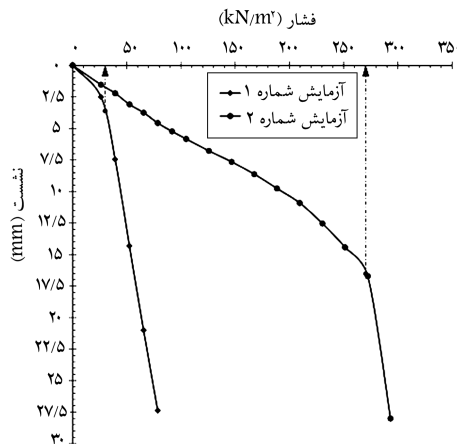


شکل ۳. وضعیت لایه‌های خاک و مسلح‌کننده‌های افقی (آزمایش‌های ۷-۱).

جدول ۳. جزئیات آزمایش‌ها بر روی ماسه‌ی مسلح‌شده با المان‌های افقی.

آزمایش	شماره	$\frac{b}{B}$	$\frac{h}{B}$	$\frac{u}{B}$	تعداد لایه‌ها	مسلح‌کننده	خاک بستر	
							$H_2$	$H_1$
۱		-	-	-	-	-	* ۸B	-
۲		-	-	-	-	-	۶B	۲B
۳		۵	-	۰.۲۵	۱	ورق آلمینیوم	۶B	۲B
۴		۵	-	۰.۲۵	۱	نوار پلیمری	۶B	۲B
۵		۵	۰.۲۵	۰.۲۵	۲	نوار آلمینیوم	۶B	۲B
۶		۵	۰.۲۵	۰.۲۵	۲	نوار پلیمری	۶B	۲B
۷		۵	-	۰.۵	۱	ورق آلمینیوم	۶B	۲B

\*  $B = 50$  mm



شکل ۷. نمودار بار - نشست مدل‌های غیرمسلح.

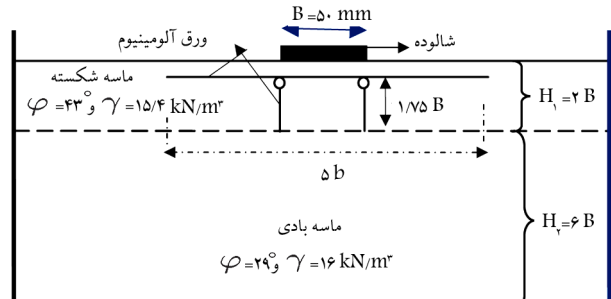
**۱.۵. باربری مدل‌های غیرمسلح آزمایش‌های ۱ و ۲**  
 نمودار بار - نشست آزمایش‌های ۱ و ۲ در شکل ۷ آورده شده است. همان‌گونه که در شکل ۷ مشخص شده است، ظرفیت باربری نهایی در آزمایش‌های ۱ و ۲ به ترتیب برابر با  $270 \text{ KN/m}^2$  و  $270 \text{ KN/m}^2$  است و مکانیزم گسیختگی در این دو آزمایش فروبریزشی است.

در مختنی‌های بار - نشست پی، نقطه‌ی گسیختگی مدل‌های مسلح شده به طور واضح مشخص نیست، از این رو ظرفیت باربری به این صورت تعیین شده است: ماسه‌ای بر دو شاخه‌ی مختنی بار - نشست پی رسم و از محل برخورد آن‌ها ظرفیت باربری تعیین شد که به روش برخورد دو مماس معروف است.  
 ماسه‌ی بادی در شرایط محصورشده‌ی، نشست قابل ملاحظه‌ی ندارد، ولی به علت زاویه‌ی اصطکاک کم و دانه‌بندی یکنواخت، به تهابی دارای ظرفیت باربری کمی است. براساس نتایج آزمایشگاهی، با اجرای لایه‌ی ماسه‌ی شکسته به ضخامت  $2B$  بر روی ماسه‌ی بادی ظرفیت باربری سیستم به  $9$  برابر افزایش می‌یابد.

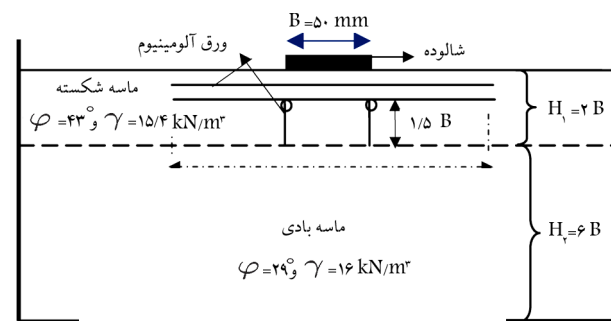
**۲.۵. ظرفیت باربری پی با مسلح‌سازی افقی، آزمایش‌های ۳ الی ۷**  
 همان‌طور که پیش از این هم بیان شد، لایه‌های مسلح‌کننده از ورق نازک آلومینیومی  $12 \times 12,5$  میلی‌متر ( $150$ ) مجاور هم تشکیل یافته‌اند. محل قرارگیری آن‌ها نیز در فاصله‌ی  $25B$  از کف شالوده،  $u$  درون لایه‌ی ماسه‌ی شکسته است. نمودار بار - نشست آزمایش‌های ۳ و ۴ در شکل ۸ ارائه شده است.

با توجه به شکل ۸، کارگذاری المان‌های مسلح‌کننده باعث افزایش ظرفیت باربری و کاهش نشست پذیری می‌شود، همچنین ورق آلومینیومی نسبت به نوار پلیمری، تأثیر بیشتری در افزایش ظرفیت باربری می‌گذارد. مسلح‌سازی با ورق آلومینیومی سبب افزایش  $10/4$  برابری ظرفیت باربری در مقایسه با ماسه‌ی بادی شده است. اعداد به دست آمده برای نسبت افزایش ظرفیت باربری در محدوده‌ی مقداری بیان شده در سال  $1975^{[16]}$  و در سال  $2002^{[17]}$  است، که بیان‌گر عملکرد مناسب مدل آزمایشگاهی و قابلیت اعتماد نتایج آن است.

در آزمایش‌های ۵ و ۶ به بررسی اثر دو لایه‌ی مسلح‌کننده با فاصله‌ی  $h = 25B$  (شکل ۹) توجه شده است. نتایج آزمایش‌های انجام‌گرفته در این حالت در شکل ۹ آمده است. با مقایسه شکل‌های ۸ و ۹ ملاحظه می‌شود که با افزایش



الف) آزمایش شماره ۱۱



ب) آزمایش شماره ۱۲

شکل ۶. وضعیت لایه‌های خاک و مسلح‌کننده‌های افقی و قائم.

جدول ۴. جمع‌بندی نتایج آزمایش‌های انجام شده.

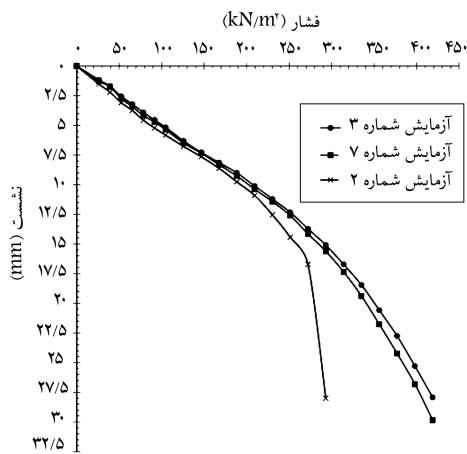
RIF	BCR	$S_u$ (mm)	$q_u$ (KN/m <sup>2</sup> )	شماره‌ی آزمایش
-	-	3/8	30	۱
۱	۹	16,3	270	۲
۱/۲	۱۰,۴	15,6	314	۳
۱/۱	۹,۹	15,2	298	۴
۱/۷	15,1	14,2	453	۵
۱/۵	13,7	16,8	411	۶
۱/۱	10,2	15,7	307	۷
۱/۳	11,4	15,5	342	۸
۱/۱	10,1	15,7	304	۹
۱/۱	9,9	15,8	297	۱۰
۱/۴	12,2	17,1	368	۱۱
۱/۸	16,6	14,8	500	۱۲

## ۵. نتایج آزمایش‌های مدل‌ها

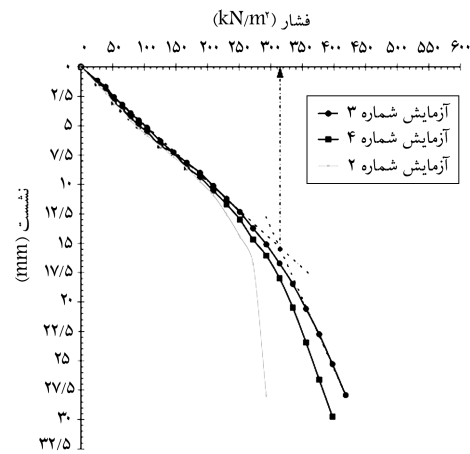
عملکرد مدل‌های مختلف مسلح‌سازی با بارگذاری بلند و ثبت نشست صفحه‌ی فولادی واقع بر روی آن سنجیده می‌شود. بهبود ظرفیت باربری نهایی با کمیت بدون نشست ظرفیت باربری،  $BCR^1$ ، طبق رابطه‌ی ۲ بیان شده است.

$$BCR = \frac{q_u(R)}{q_u} \quad (2)$$

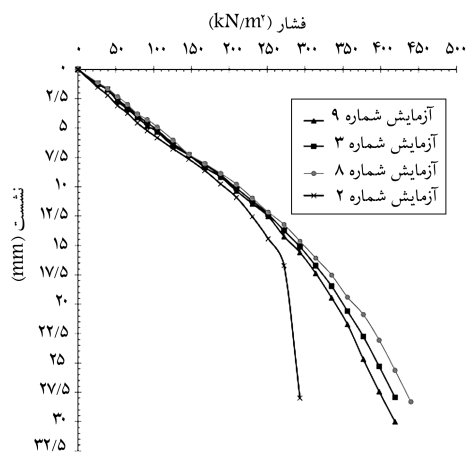
که در آن،  $q_u(R)$  و  $q_u$  به ترتیب ظرفیت باربری نهایی با و بدون مسلح‌سازی هستند. دقت نتایج آزمایش‌ها با تکرار کنترل شد.



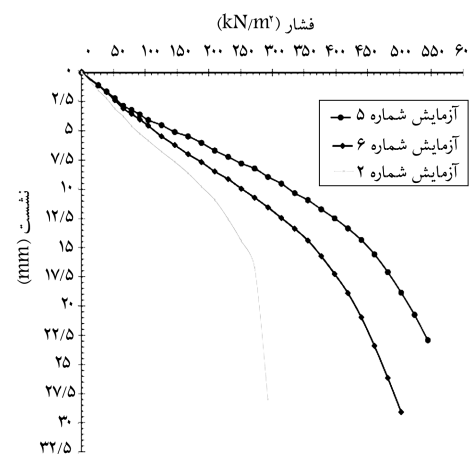
شکل ۱۰. نمودارهای بار - نشست مدل‌های مسلح شده با یک لایه‌ی مسلح کننده‌ی افقی در عمق  $0,25B$  و  $0,5B$ .



شکل ۸. نمودارهای بار - نشست مدل‌های مسلح شده با یک لایه‌ی مسلح کننده‌ی افقی.



شکل ۱۱. نمودارهای بار - نشست مدل‌های مسلح شده با لایه‌های منحنی هذلولی مقعر و محدب.



شکل ۹. نمودارهای بار - نشست مدل‌های مسلح شده با دو لایه‌ی مسلح کننده‌ی افقی.

**۴.۵. ظرفیت باربری در حالت مسلح‌سازی قائم (آزمایش ۱۰)**  
برای بررسی تأثیر تأثیر مسلح‌سازی قائم در افزایش ظرفیت باربری، آزمایش ۱۰ انجام شد. نتایج این آزمایش در شکل ۱۲ آورده شده است.  
نتایج به دست آمده نشان می‌دهند که مسلح‌سازی قائم باعث افزایش ظرفیت باربری می‌شود، ولی این افزایش در مقایسه با مسلح‌سازی افقی ناچیز است. یکی از دلایل مهم تحقیقات گسترده‌تر بر روی مسلح‌سازی افقی می‌تواند مسئله‌ی ذکر شده در بالا باشد.

تعداد لایه‌های مسلح کننده از یک به دو، بهبود چشمگیری در ظرفیت باربری حاصل می‌شود. با توجه به نتایج آزمایش‌ها در شرایط مشابه، مسلح‌سازی با ورق آلومینیومی به علت مقاومت کششی بیشتر آن نسبت به نوار پلیمری افزایش ظرفیت باربری بیشتری به همراه دارد. آزمایش ۷ به بررسی اثر عمق مسلح‌سازی در عملکرد پی، با استفاده از یک لایه‌ی مسلح کننده در عمق  $0,5B$  از کف شالوده می‌پردازد که نتایج آن در شکل ۱۰ آورده شده است.  
همان‌طور که مشاهده می‌شود، کارگذاری مسلح کننده در عمق  $0,5B$  نسبت به عمق  $0,25B$  تأثیر کمتری دارد.

### ۵. ظرفیت باربری در سیستم ترکیبی مسلح‌سازی افقی و قائم (آزمایش‌های ۱۰ و ۱۱)

این آزمایش‌ها در دو حالت شامل یک لایه‌ی مسلح کننده افقی به همراه دو ردیف مسلح کننده‌ی قائم (آزمایش ۱۱) و دو لایه‌ی مسلح کننده‌ی افقی به همراه دو ردیف مسلح کننده‌ی قائم (آزمایش ۱۲) صورت گرفته است.  
نتایج این آزمایش‌ها در شکل ۱۳ آمده است. با توجه به نتایج به دست آمده از آزمایش مدل‌های ۱۱ و ۱۲، ظرفیت باربری به ترتیب  $12,2$  و  $16,6$  برابر نسبت به

**۳. ظرفیت باربری در حالت مسلح‌سازی خمیده، آزمایش‌های ۸ و ۹**  
نتایج عملکرد شالوده برای این آزمایش‌ها در شکل ۱۱ آمده است. از روی نمودارهای بار - نشست شکل ۱۱ می‌توان دریافت که مسلح‌سازی به حالت خمیده - مقعر، تأثیر بیشتری در افزایش ظرفیت باربری نسبت به حالت محدب و با مستقیم دارد. مسلح‌سازی مقعر شکل باعث بهبود نسبت ظرفیت باربری به میزان  $11,4$  نسبت به ظرفیت باربری ماسه‌ی بادی (آزمایش ۱) می‌شود. دلیل تأثیر بیشتر این حالت نسبت به حالت افقی را می‌توان ناشی از نیروهای بسیج شده بیشتر در المان مسلح کننده دانست.

رابطه‌ی ۳ با تعریف ضریب تأثیر مسلح سازی، RIF، کارایی شکل‌های مختلف مسلح سازی در افزایش بار برابر با هم مقایسه می‌شوند.

$$RIF = \frac{q_u(R)}{q_u(S)} \quad (3)$$

که در آن،  $q_{u(s)}$  ظرفیت بار برابر خاک ماسه‌ی سست مقاوم شده با لایه‌ی ماسه‌ی شکسته است.

نتایج نشست نهایی،  $S_u$ ، ظرفیت بار برابر نهایی،  $q_u$  و نسبت ظرفیت بار برابر، RIF برای تمامی آزمایش‌ها در جدول ۴ خلاصه شده است.

## ۶. نتیجه‌گیری

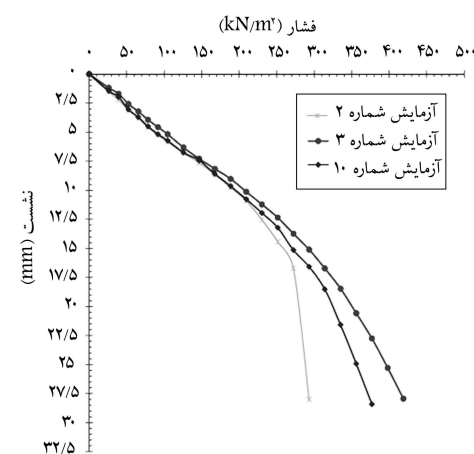
با ساخت مدل‌های آزمایشگاهی در حالت کرنش صفحه‌یی، بار برابر شالوده‌ی نواری واقع بر ماسه‌ی سست (ماسه‌ی بادی) مقاوم شده با روش ماسه‌ی مسلح شده با المان‌هایی در وضعیت افقی، عمودی، و خمیده بررسی و مقایسه شده است. حوزه‌ی نشست بی‌واقعی در مدل‌های آزمایشگاهی قابل بازسازی نیست (تأثیر مقیاس) و از این رو نتایج این مدل‌ها جهت ارزیابی کیفی است. با توجه به این مشاهدات، اجرای لایه‌ی ماسه‌ی مسلح سبب بهبود بار برابر بی نواری به صورت افزایش ظرفیت بار برابر و کاهش نشست پذیری با جلوگیری از رانش ماسه‌ی سست از زیر پی می‌شود. بر اساس نتایج آزمایش مدل‌ها می‌توان گفت:

۱. مشخصات مکانیکی مسلح‌کننده‌ها و هندسه‌ی مسلح سازی بر ظرفیت بار برابر و نشست پذیری بی نواری مؤثر بوده و با افزایش عمق استقرار مسلح‌کننده از کارآمدی آن کاسته می‌شود. مسلح سازی قائم نسبت به مسلح سازی افقی کارآمدی کمتری دارد.

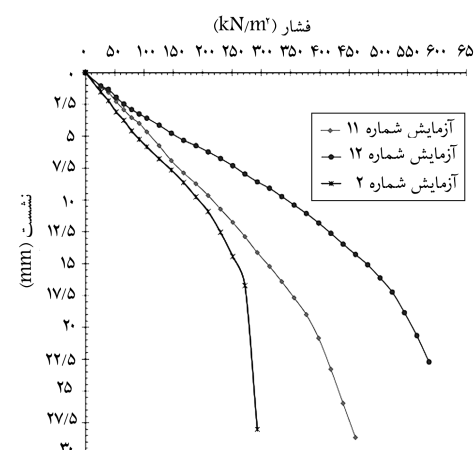
۲. با مسلح سازی ماسه‌ی شکسته، عملکرد شکل‌پذیرتر (جدب انرژی بیشتر قبل از گشیختگی) در پی به وجود می‌آید.

۳. مسلح سازی خمیده به شکل هذلولی مقعر با شیب متوسط ۱۰٪ نسبت به حالت مسلح سازی افقی یا عمودی در افزایش ظرفیت بار برابر مؤثرتر است. در حالت مقعر از مقاومت مسلح‌کننده در تأمین پایداری به نحو مطلوب‌تری استفاده می‌شود.

۴. ترکیب مسلح سازی افقی بر روی مسلح سازی قائم، نقش قابل توجهی بر افزایش ظرفیت بار برابر دارد، نسبت افزایش ظرفیت بار برابر برای ترکیب از مسلح‌کننده افقی با دو لایه‌ی مسلح‌کننده افقی ۱۶/۶ است. فارغ از بعد اقتصادی و اجرایی می‌توان این سیستم مسلح سازی را بهترین حالت در بین آزمایش‌های صورت‌گرفته دانست.



شکل ۱۲. نمودار بار- نشست مدل با مسلح‌کننده‌ی قائم.



شکل ۱۳. نمودارهای بار- نشست مدل‌های مسلح شده با ترکیب مسلح‌کننده افقی و قائم.

مدل ۱ افزایش می‌یابد. از بین حالت‌های مختلف آزمایش شده، سیستم مسلح سازی جدید شامل دور دیف قائم به همراه دو لایه‌ی افقی (مطابق شکل ۶ ب) بیشترین تأثیر در بهبود ظرفیت بار برابر را دارد، با توجه به اندرکنش دو لایه‌ی خاک ماسه‌ی سست و ماسه‌ی مسلح شده این رشد قابل توجیه است، بر اثر مسلح سازی افقی بار برابر افزایش می‌یابد و تمايل ماسه‌ی سست به رانش به دليل این افزایش بارگذاري و حرکت به طرفين سبب فعال شدن مسلح‌کننده‌های قائم به ميزان بيشتر می‌شود. طبق

## پانوشت‌ها

1. bearing capacity ratio
2. reinforcement influence factor

## منابع (References)

1. Khing, K.H., Das, B.M., Yen, S.C., Puri, V.K. and Cook, E.E. "The bearing capacity of a strip foundation on

geogrid-reinforced sand", *Journal of Geotextiles and Geomembranes*, **12**(4), pp. 351-361 (1993).

2. Yetimoglu, T., Wu, J.T.H. and Saglamer, A. "Bearing capacity of rectangular footings on geogrid reinforced sand", *Journal of Geotechnical Engineering Division, ASCE*, **120**(12), pp. 2083-2089 (1994).
3. Das, B.M. and Omar, M.T. "The effects of foundation width on model tests for the bearing capacity of sand with geogrid reinforcement", *Journal of Geotechnical and Geological Engineering*, **12**(2), pp. 133-141 (1994).

4. Adams, M.T. and Collin, J.C. "Large model spread footing load tests on geogrid-reinforced soil foundations", *Journal of Geotechnical and Geoenvironmental Engineering, ASCE*, **123**(1), pp. 66-72 (1997).
5. Moghaddas Tafreshi, S.N. and Dawson, A.R. "Comparison of bearing capacity of a strip footing on sand with geocell and with planar forms of geotextile reinforcement", *Journal of Geotextiles and Geomembranes*, **28**, pp. 72-84 (2010).
6. Bassett, R.H. and Last, N.C. "Reinforced earth below footings and embankments", *Proc. Symp. on Earth Reinforcement, ASCE*, pp. 202-231 (1978).
7. Verma, B.P. and Char, A.N.R. "Bearing capacity tests on reinforced sand subgrades", *Journal of Geotech. Eng. Div., ASCE*, **112**, pp. 701-706 (1986).
8. Manjunath, V.R. "Bearing capacity of reinforced sand subgrades", MTech Dissertation, Indian Institute of Technology, Bombay (1989).
9. Huabao, Z. and Xuejun, W. "Model studies on geogrid or geocell reinforced sand cushion on soft soil", *Journal of Geotextiles and Geomembranes*, **26**(3), pp. 231-238 (2008).
10. Sireesh, S., Sitharam, T.G. and Dash, S.K. "Bearing capacity of circular footing on geocell-sand mattress overlaying clay bed with void", *Journal of Geotextiles and Geomembranes*, **27**(2), pp. 89-98 (April 2009).
11. Yetimoglu, T., Wu, J.T.H. and Saglamer, A. "Bearing capacity of rectangular footings on geogrid-reinforced sand", *Journal of Geotechnical Engineering, ASCE*, **120**(12), pp. 2083-2099 (1994).
12. Adams, M.T. and Collin, J.G. "Large model spread footing load tests on geosynthetic reinforced soil foundations", *Journal of Geotechnical and Geoenvironmental Engineering, ASCE*, **123**(1), pp. 66-72 (1997).
13. Hossein Alizadeh, A., Mir Mohammad Hosseini, S.M. and Abrishami, S., "Numerical modeling of shallow foundations bearing capacity on geogrid- reinforced sand", *Proceedings of 4th National Congress on Civil Engineering*, Tehran University, Tehran, Iran, (In Persain) (2008).
14. Mandal, J.N. and Manjunath, V.R. "Bearing capacity of strip footing resting on reinforced sand subgrades", *Journal of Construction and Building Materials*, **9**(1), pp. 35-38 (1994).
15. Osman, E.A.M. "New reinforced earth mat foundation over soft clay", *Journal of Geotextiles and Geomembranes*, **22**(5), pp. 439-453 (2005).
16. Binquet, J. and Lee, K.L. "Bearing capacity tests on reinforced earth slabs", *Journal of Geotechnical Engineering Division, ASCE*, **101**(GT12), pp. 1241-1255 (1975).
17. Shin, E.C., Das, B.M., Lee, E.S. and Atalar, C. "Bearing capacity of strip foundation on geogrid-reinforced sand", *Journal of Geotechnical and Geological Engineering*, **20**(2), pp. 169-180 (2002).